

MERILNIK NAMAGNETENOSTI S TRESO[^]IM SE VZORCEM (VSM)

CONSTRUCTION OF THE VSM FOR MAGNETISATION MEASUREMENTS

FRANC DIMC¹, D. FEFER²

¹Institut Jošef Stefan, Jamova 39, 1000 Ljubljana; Fakulteta za pomorstvo in promet, Pot pomorskih akov 4, 6320 Portorož

²Fakulteta za elektrotehniko, Tržaška 19, 1000 Ljubljana

Prejem rokopisa - received: 1997-10-01; sprejem za objavo - accepted for publication: 1997-12-19

Meritve magnetnih lastnosti materialov temeljijo na različnih načinih. Glede na predpise IEC obstajata dve glavni vrsti: meritve v odprttem in zaprtem magnetnem krogu. Meritve v odprttem krogu so natančnejše in zanje potrebujemo manjše količine vzorcev. Relativno lahko kalibracijo in hitro izvedbo meritve omogoča instrument, ki izkoristi načelo magnetne indukcije. Tresenje vzorca vzbuja v okoliških tuljavah inducirano napetost, ki jo merimo s sistemom s fazno sklenjeno zanko. Dopolnilna velikost vzorca je določena z območjem homogenosti statičnega magnetnega polja. Najmanjša količina vzorca je odvisna od njegove namagnetenoosti, ki jo je sposoben doseži v najvišjem magnetnem polju. V rezonančnem elektromagnetu z vodno hlajenimi navitji dosegamo največ 0,75 T. Tresenje vzorca s frekvenco 66 Hz omogoča elektromehanski pretvornik. Temperaturno odvisnost namagnetenoosti magnetnih vzorcev opazujemo, ko vzorec postavimo v peč. Najvišja temperatura presega Curiejeve temperature vseh faz merjenega vzorca. Uporovno navitje je izdelano iz nemagnetnega, neinduktivnega navitega materiala.

Ključne besede: načrtovanje, magnetne lastnosti, namagnetenoost, vibracijski magnetometer

Magnetic properties measurements base on different principles. Measurements in an open and in closed magnetic circuit according to the IEC standards represent two main varieties of magnetic measurements. Open magnetic circuit measurements are more sensitive and less amount of material is needed. Magnetic induction based instrument is relatively easy to calibrate and enables fast testing of the sample. Phase locked loop circuit ensures accurate measurement. Voltage is caused by induction: the magnetised sample is vibrated in the vicinity of the detection coils. The minimum amount of the sample depends upon its magnetisation in the strongest exciting magnetic field. Water cooled electromagnet is capable to produce 0,75 T. Sample is vibrated with 66 Hz by the electromechanical transducer. Temperature dependence of the magnetisation is observed when the sample is exposed to heat. The highest temperature inside the furnace exceeds Curie temperatures of all samples. Heater windings are made of nonmagnetic wire, which is wound noninductively.

Key words: construction, magnetic properties, magnetisation, Vibrating Sample Magnetometer

1 UVOD

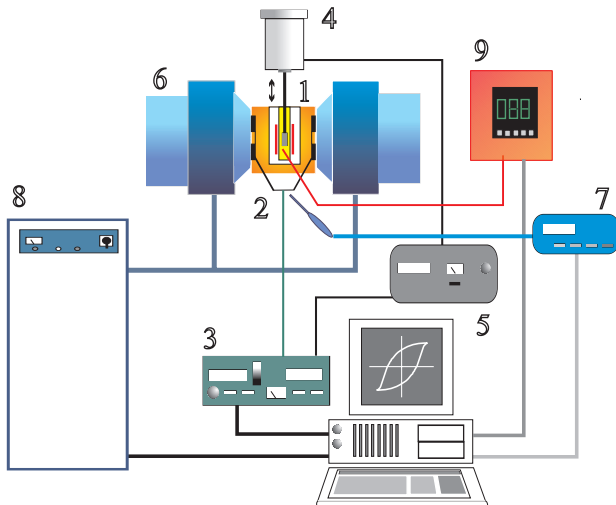
Kakor sta leta 1831 v Evropi in Ameriki Faraday in Henry neodvisno odkrila načelo magnetne indukcije, tako sta tudi leta 1956 neodvisno prišla na idejo o vibracijskem magnetometru (VSM) dva raziskovalca¹.

Merilna metoda (slika 1) temelji na pojavu inducirane napetosti zaradi spremenjanja medsebojne induktivnosti treso-ega se vzorca (1) in odjemnih tuljav (2). Glavni deli merilnika so predvsem: elektromehanski pretvornik (4) z močnostnim oja-evalnikom (5), merilni oja-evalnik z vgrajenim oscilatorjem (3), odjemne tuljave (2) in elektromagnet (6) z napajalnikom (8). K dodatni opremi spada krmilnik temperature s pečjo (9).

2 NAČRTOVANJE

Obutljivost merilnega sistema zahteva, da so odjemne tuljave imajo bližje treso-emu se vzorcu. Zahteva po vstavitvi peči v merilni sistem povzroča odmak tuljav od vzorca. V izračunu velikosti in razporeditve odjemnih tuljav smo upoštevali debelino grelnika, izolacije in hladilne stene, ki ločijo vzorec in odjemne tuljave (slika 2).

Meritve porazdelitve gostote magnetnega polja B v rezonančnem elektromagnetu je zelo zamudno opravilo. Z izračunom porazdelitve meritve vodi v nadzorujejo (10) poseben računalnik



Slika 1: Sestavni deli merilnika VSM: (1) vzorec na treso-emu se palici, (2) sistem odjemnih tuljav, (3) merilni oja-evalnik, (4) elektromehanski pretvornik, (5) močnostni oja-evalnik, (6) elektromagnet, (7) teslameter, (8) tokovni izvor, (9) regulator temperature vzorca s termoelementom, meritev vodi in nadzoruje (10) poseben računalnik

Figure 1: VSM scheme: (1) sample on a vibrating stick, (2) sensing coils, (3) lock-in amplifier, (4) electro-mechanical transducer, (5) power amplifier, (6) electromagnet, (7) teslameter, (8) power supply, (9) temperature controller and (10) PC



Slika 2: Grelnik, navit na epruveto, obdan s topotno izolacijo, v hladilnem bloku iz bakra, priključki za grelec, termoelement, merilni signal in dovod hladilne vode

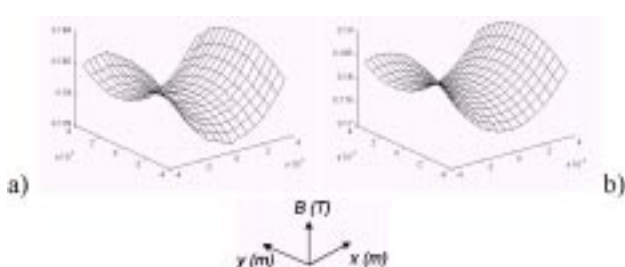
Figure 2: Heater, wounded on quartz tube, thermally isolated against cooling block of copper, sockets for measuring signal from and thermoelement, inlets for the cooling water

nom smo se meritvam poskusili izogniti. Temelje na teoriji Greenovih funkcij smo izračunali porazdelitev naboja po površini polovih -evljev. S takim načinom smo preslikali razmere v elektrostatično polje, kar si smemo privočiti. Rezultati meritev B v sredini reče in izračun se dobro ujemajo (**slika 3**). Primerjali smo tudi izračune za B , za koničaste in ploskate polove -evlje.

Glavni del podeli predstavlja grelno telo iz nemagnetne NiCr'-ice. Na izdelani napravi je bila za vzdrževanje temperature okrog 700°C potrebna moč na grelniku 100 W. Neinduktivno navitje v vodniku in enosmerni tok zmanjšuje velikost motenj v sistemu. Regulator temperature ima vgrajen varnostni podsistemi, ki izklopi instrument, kadar je preobremenjen.

3 SESTAVLJANJE

Deli naprave se med meritvijo ne smejo tresti. Z zanesljivo pritrditvijo in izbiro materialov za sestavne dele smo dosegli, da na merilni rezultat niso vplivali niti tresljaji iz okolice niti tisti, ki jih povzroča sam instrument.



Slika 3: Diagram a) podaja rezultate meritve gostote magnetnega pretoka v reči elektromagneta s polovimi -evlji v obliki prisekanega stoča in razmaku 30 mm. Meritev je izvedena v točkah, razmaknjene za 0,50 mm s Hallovo sondijo ($\phi = 1,8 \text{ mm}$). Na diagramu b) rezultat izračuna kaže ujemanje z meritvijo do 614% na opazovani površini znotraj reče

Figure 3: Diagram a) shows the distribution of magnetic flux density inside the electromagnet gap (30 mm) with the conical pole tips. The distance between measuring points is 0,50 mm and the Hall probe with $\phi = 1,8 \text{ mm}$ was used. Result of the calculation shown on the diagram b) agrees with the measurement within 614%



Slika 4: Vzorec je pritrjen na konec palice, ki jo trese elektromehanski pretvornik, in leži v homogenem polju elektromagneta. Na desni strani je pripravljena rotacijska -rpalka za evakuiranje epruvete z vzorcem

Figure 4: Sample lies in the homogenous field of the electromagnet and is fixed at the end of the stick, which is vibrated by the transducer. Rotary pump is used for evacuation of the sample chamber

Z instrumentom imamo močnost ugotavljanja anizotropije vzorcev, ker je elektromehanski pretvornik, na katerega je vzorec trdno vpet, vrtljiv okoli svoje osi (**slika 4**).

Temperaturo vzorca merimo s termoelementom iz nemagnetne zlitine PtRh, za varnost delovanja skrbi termoelement ob grelniku.

Posebna epruveta z vzorcem omogoča delo v vakuumu in dovanjanje različnih plinov med meritvijo.

4 MEROSLOVNI POGLED

Za preverjanje primerljivosti rezultatov meritev magnetnih lastnosti materialov (B_r in J_{H_c}) razni laboratoriji med seboj obenomo izvajajo primerjalne meritve. Sledljivost posameznega instrumenta določa njegov položaj na meroslovni lestvici⁴. Položaj VSM je določen s to-nostjo določitve namagnetenosti vzorcev, namenjenih za umerjanje.

Za ponovljivost meritev z VSM je zelo pomembna to-nost meritve jakosti vzbujevalnega magnetnega polja⁵.

5 SKLEP

Meja merljivosti instrumenta je dolo~ena z najmanj-im magnetnim momentom, ki ga je lahko izmerimo. Magnetni moment vzorca pa ni odvisen le od njegovih snovnih lastnosti, ampak tudi od jakosti vzbujevalnega magnetnega polja. Izra~unana vrednost momenta je bila 10^{-7} Am², zaradi ~esar bomo z instrumentom lahko merili tudi namagnetenost paramagnetnih materialov.

6 LITERATURA

- ¹van Oosterhout G. W., A Rapid method for measuring coercive force and other ferromagnetic properties of very small samples. *Applied Science Research B*, (1956) 6, 101-104 Foner, S., Vibrating sample magnetometer. *Review of Scientific Instruments*, (1956) 27, 548
- ²Bernards, J. P. C., Design of a detection coil system for a biaxial vibrating sample magnetometer and some applications. *Review of Scientific Instruments*, 64 (1993) 7, 1918-1930
- ³Dimc, F., Merilnik namagnetenosti s treso-im vzorcem, *magistrsko delo*, Fakulteta za elektrotehniko, Ljubljana, 1996, 118 strani
- ⁴McGuiness, P. J., Traceable measurements for magnetic materials. *Kovine, zlitine, tehnologije*, 29 (1995) 5-6, 481-484
- ⁵Siever, J., Ahlers, H., Luedke, J., Paret, L., Solzi, M., European intercomparision of measurements on permanent magnets, *IEEE Transactions on Magnetics*, 29 (1993) 6, 2887-2889